

## ИССЛЕДОВАНИЕ ПРОЧНОСТИ СЕРОГО ЧУГУНА ПРИ РАДИАЛЬНОМ СЖАТИИ

Ю. С. БОГОМОЛОВ, Л. М. СЕДОКОВ

(Рекомендована к печати научным семинаром кафедры сопротивления материалов)

Прочность материала на растяжение является его важнейшей механической характеристикой. Однако для хрупких материалов (чугун, бронза, камень, бетон, некоторые пластические массы и др.) определение прочности на растяжение затруднено, что приводит к существенной неопределенности результатов испытаний.

Исследования [1, 2, 3, 4, 5] говорят о том, что при радиальном сжатии цилиндрического образца хрупкого материала можно определить предел прочности на разрыв по формуле

$$\sigma_{\text{пр}} = A \frac{P}{dl} . \quad (1)$$

Здесь  $P$  ( $\kappa\Gamma$ ) — максимальная сила при испытании,  
 $d$  и  $l$  ( $мм$ ) — диаметр и длина образца,  
 $A$  — безразмерный коэффициент.

Введем понятие об удельной разрушающей силе при радиальном сжатии  $\sigma_{dl}$ , как отношении максимальной силы при испытании к площади диаметрального сечения

$$\sigma_{dl} = \frac{P}{dl} . \quad (2)$$

Очевидно, безразмерный коэффициент  $A$  есть отношение предела прочности на разрыв к удельной разрушающей силе при радиальном сжатии

$$A = \frac{\sigma_{\text{пр}}}{\sigma_{dl}} . \quad (3)$$

Методы теории упругости позволяют определить величину рас- тягивающих напряжений на площадках, совпадающих с плоскостью действия силы при радиальном сжатии диска по формуле [6]

$$\sigma_x = \frac{2}{\pi} \cdot \frac{P}{dl} = \text{const.}$$

Если распространить действие закона Гука при радиальном сжатии образца на хрупкие материалы вплоть до разрушения, то значение безразмерного коэффициента  $A$  следует принять равным  $\frac{2}{\pi} \approx 0,64$ .

В реальных материалах, какими бы они хрупкими не были, всегда будет предшествовать разрушению некоторая пластическая деформация. Поэтому коэффициент  $A$  для реальных материалов больше 0,64.

Для выявления фактического значения указанного коэффициента применительно к серому чугуну, как наиболее распространенному хрупкому материалу машиностроения, была проведена настоящая работа. Исследованы зависимость безразмерного коэффициента  $A$  от твердости серого чугуна в пределах от  $110 \text{ HB}$  до  $210 \text{ HB}$ , а также влияние условий испытаний на результаты опытов.

Специальные отливки серого чугуна размерами  $400 \times 100 \times 30 \text{ мм}$  после снятия поверхностных слоев на глубину не менее  $5 \text{ мм}$  разрезались на бруски  $400 \times 25 \times 20 \text{ мм}$ . По длине этих брусков тщательно измерялась твердость на прессе Бринелля шариком  $10 \text{ мм}$ . Бруски с постоянной твердостью (вне зависимости от абсолютной величины твердости) отбирались для изготовления образцов.

Таким образом были изготовлены образцы на растяжение диаметром  $8 \text{ мм}$  и рабочей частью  $70 \text{ мм}$ , на осевое и радиальное сжатие—диаметром  $12 \text{ мм}$  и длиной  $24 \text{ мм}$ , различной твердости.

На рис. 1 и 2 показаны графики, представляющие зависимости предела прочности на растяжение, осевое сжатие и удельной разрушающей силы при радиальном сжатии от твердости чугуна. Получен-

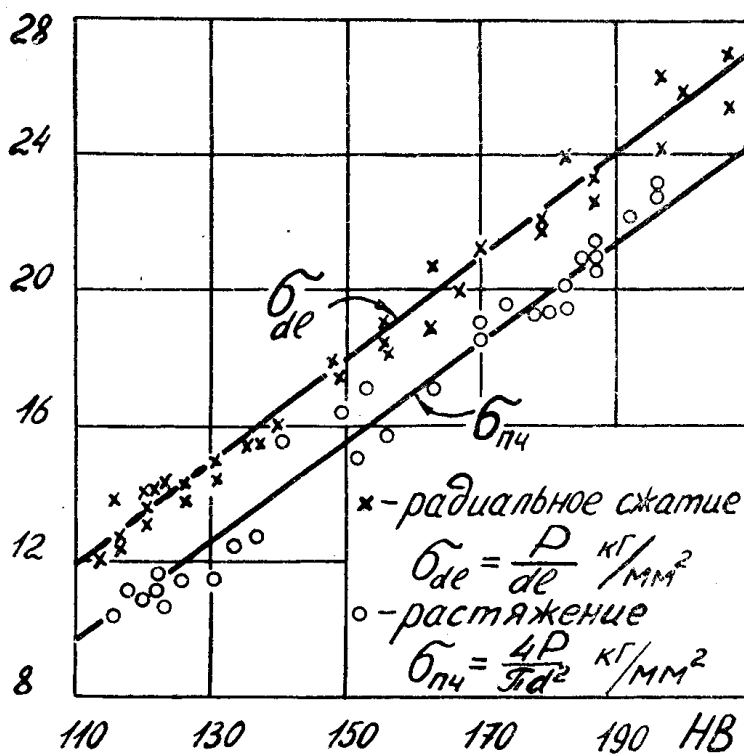


Рис. 1. Зависимость прочности на разрыв  $\sigma_{nq}$  и удельной разрушающей силы при радиальном сжатии от твердости HB серого чугуна.

ные результаты дают линейную связь между указанными величинами в виде уравнений прямых, не проходящих через начало координат,

$$\begin{aligned}\sigma_{nq} &= 0,15 \text{ HB} - 6,4, \\ \sigma_{de} &= 0,56 \text{ HB} - 29, \\ \sigma_{dl} &= 0,15 \text{ HB} - 4,2.\end{aligned}\tag{4}$$

Разброс экспериментальных точек от прямых, выраженных уравнениями (4), лежит в пределах  $\pm 11\%$  для растяжения и осевого сжатия и составляет около  $\pm 8\%$  при радиальном сжатии.

Исключая величину твердости  $H_B$  из уравнений (6), можно связать пределы прочности на растяжение, осевое сжатие и удельную разрушающую силу при радиальном сжатии следующими соотношениями.

Таблица

**Связь между пределами прочности при растяжении, сжатии и удельной разрушающей силой при радиальном сжатии**

	Предел прочности при растяжении, $\sigma_{pu}$	Предел прочности при осевом сжатии, $\sigma_{pk}^{cж}$	Удельная разрушающая сила при радиальном сжатии, $\sigma_{dl}$
$\sigma_{pu} = \frac{4P}{\pi d^2}$		$3,8\sigma_{pu} - 4,6$	$1,02\sigma_{pu} + 2,3$
$\sigma_{pk}^{cж} = \frac{4P}{\pi d^2}$	$0,26\sigma_{pu} + 1,2$	—	$0,27\sigma_{pu} + 0,36$
$\sigma_{dl} = \frac{P}{dl}$	$0,98 \frac{P}{dl} - 2,26$	$3,73 \frac{P}{dl} - 1,33$	—

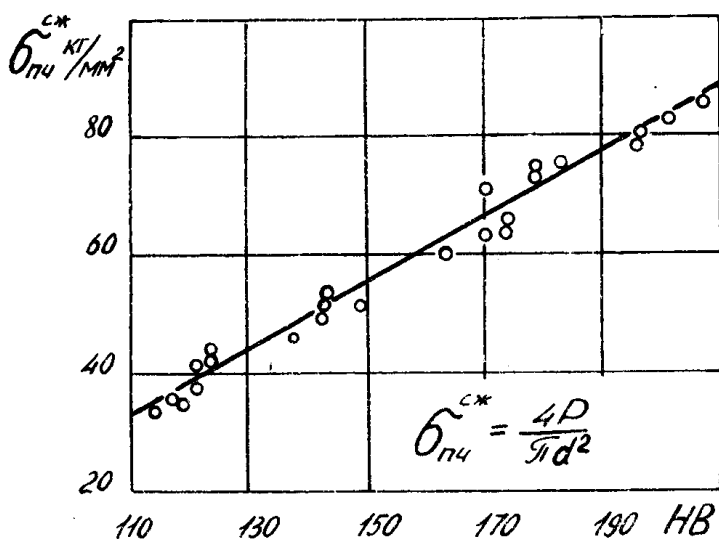


Рис. 2. Зависимость прочности на сжатие  $\sigma_{pk}^{cж}$  от величины твердости  $H_B$  серого чугуна.

Как видно из рис. 1, графики зависимости предела прочности при растяжении и удельной разрушающей силы при радиальном сжатии от величины твердости  $H_B$  представляют параллельные прямые, так как тангенсы углов наклона этих прямых равны 0,15. Характер этих линий говорит об аналогии процесса разрушения при осевом растяжении и радиальном сжатии. В исследуемом диапазоне твердостей серого чугуна безразмерный коэффициент  $A$  несколько изменяется, увеличиваясь с возрастанием твердости. Однако это изменение невелико.

В среднем значение коэффициента  $A$  для исследуемых чугунов можно принять равным 0,85. В этом случае изменение величины без-

размерного коэффициента  $A$  будет  $\pm 6\%$ . Следовательно, формула (1) для исследованных чугунов может быть записана так:

$$\sigma_{\text{пч}} = 0,85 \frac{P}{dl}. \quad (5)$$

Зависимость между пределом прочности на сжатие и твердостью по Бринеллю приведена на рис. 2. В этом случае получена также прямая линия, но с большим углом наклона, тангенс которого составляет 0,56. Удельную разрушающую нагрузку при радиальном сжатии можно связать с прочностью при осевом сжатии через коэффициент  $B$ .

$$\sigma_{\text{пч}}^{\text{сж}} = B \frac{P}{dl}. \quad (6)$$

Величина коэффициента  $B$  не остается постоянной. С возрастанием твердости серого чугуна растет и величина коэффициента  $B$ . В среднем значение этого коэффициента равно 3,0 для исследуемой зоны твердостей. Отклонение составляет  $\pm 8\%$ , что будет также лежать в пределах разброса результатов опытов. Таким образом, для исследованных чугунов формула (6) может быть записана так:

$$\sigma_{\text{пч}}^{\text{сж}} = \frac{3P}{dl}. \quad (7)$$

Следовательно, можно считать установленным, что прочность при осевом сжатии серого чугуна исследованной твердости в 3,5 раза выше прочности на непосредственное растяжение.

В ходе исследования было рассмотрено влияние размеров образца на результаты механических испытаний чугуна при радиальном сжатии. Для этого было проведено 2 серии опытов.

Первая серия проводилась на образцах постоянной длины, равной 20 мм, и ряда значений диаметра в диапазоне от 10 до 80 мм. На рис. 3 показана зависимость удельной разрушающей силы при радиальном сжатии от величины диаметра образцов для 3-х значений

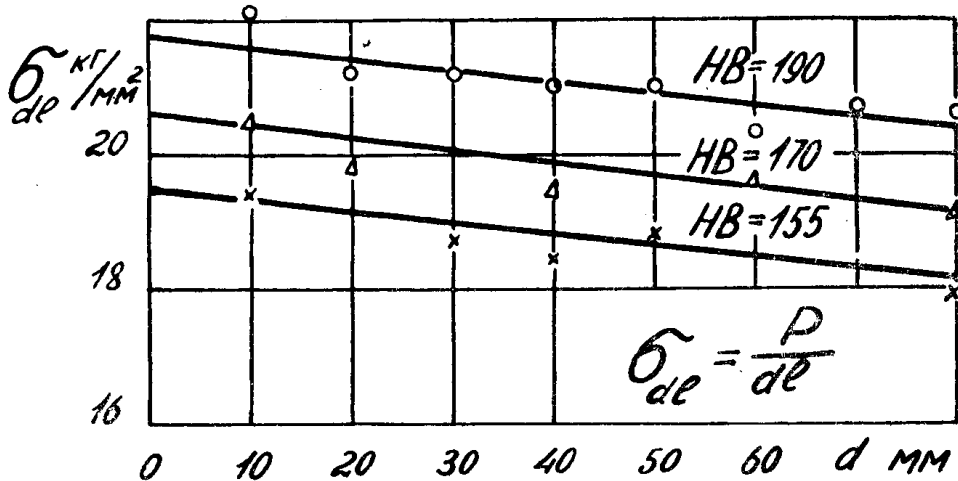


Рис. 3. Влияние диаметра образцов на величину удельной разрушающей силы при радиальном сжатии.

твердости  $HB: 155, 170$  и  $190$  единиц. Экспериментальные точки нарисованы как средние значения испытаний 5-10 образцов. При изменении величины диаметра в 8 раз, т. е. когда отношение диаметра

образца к его длине изменялось от 0,5 до 4, замечена тенденция уменьшения удельной разрушающей силы при радиальном сжатии с увеличением диаметра образцов. Однако это изменение невелико и составляет около 5%. Таким образом, в пределах исследуемых значений  $\frac{d}{l}$  можно считать удельную разрушающую силу при радиальном сжатии практически не зависящей от изменения диаметра образца.

Во второй серии диаметр образцов оставался неизменным, равным 12 мм, а длина изменялась в 10 раз: от 4 до 40 мм. На рис. 4 приводится зависимость удельной разрушающей силы при радиальном

сжатии от длины образцов для трех значений твердостей серого чугуна: 135, 160, 190 HB.

Экспериментальные точки на этой фигуре представляют средние значения из 5 - 10 опытов. Результаты обработки опытов показывают, что при отношении  $\frac{l}{d} \geq 1,5$  изменение удельной разрушающей силы при радиальном сжатии можно считать незначительным и лежащим в пределах разброса результатов экспериментов. Уменьшение

длины образцов, когда  $\frac{l}{d} < 1,5$ , вызывает увеличение удельной разрушающей си-

Рис. 4. Влияние длины образцов на величину удельной разрушающей силы при радиальном сжатии.

лы, особенно заметное для серого чугуна твердостью 160 - 190 HB. Так, образцы длиной 6 мм по сравнению с образцами длиной 20 мм дают величину удельной разрушающей нагрузки больше примерно на 20 %.

Влияние скорости деформации, равной скорости перемещения траверзы (или плиты) машины в пределах от 0,5 до 2 мм/сек, практически не оказывается на проведении испытания по радиальному сжатию цилиндрических образцов из серого чугуна.

#### ЛИТЕРАТУРА

1. А. В. Верховский, В. В. Романовская. Определение предела прочности при растяжении методом сжатия цилиндрических образцов. Заводская лаборатория, №11, 1951.
2. А. Н. Успенская. Сравнение различных методов определения предела прочности при разрыве чугуна. Труды Горьковского политехнического института, том XIII, вып. 4, 1957.
3. Л. М. Седоков. Статические испытания хрупких материалов. Стандартизация, №1, 1961.
4. Л. М. Седоков, Ю. С. Богомолов. Определение прочности хрупких пластмасс на разрыв путем сжатия цилиндрических образцов по радиусу. Пластические массы, №11, 1962.
5. О. Э. Пфлаймер. Определение прочности бетона при растяжении. ЦБТИ, М., 1959.
6. Л. С. Лейбензон. Курс теории упругости. ОГИЗ-Гостехиздат, 1947.